

ショートノート

木構造上における  $f^{-1}$  型スペクトルを有するパターンについて

正員 堀川 洋<sup>†</sup>

On Patterns with  $f^{-1}$  Spectrum on a Tree Structure  
Yo HORIKAWA<sup>†</sup>, Member

<sup>†</sup> 長崎総合科学大学工学部機械工学科, 長崎市  
Faculty of Engineering, Nagasaki Institute of Applied Science,  
Nagasaki-shi, 851-01 Japan

あらまし 木構造を持つ開放系において生成される,  $f^{-1}$  型スペクトルを有する空間パターンについて考察する。

1. まえがき

パワースペクトルが周波数に反比例する  $1/f$  ゆらぎは, その波形 (パターン) が自己相似性を持つ。そのため, 自己相似構造を持つ系において,  $f^{-1}$  型スペクトルを有するパターンが得られる場合がある<sup>(1)</sup>。本稿では, 本構造ネットワーク上における信号 (情報) 伝送に関連した,  $f^{-1}$  型スペクトルを有する正規性および 2 値の空間パターンを生成するモデルを示す。

2. 生成モデル

図 1 に示すような,  $N$  層の木構造ネットワークを考える (分岐数は 2, 各層は 1 次元とするが,  $m^d$  分岐 ( $d$  次元) の場合にも自然に一般化できる)。ここで, 例えば, branch において同じ分布に従う加法的ゆらぎ (ノイズ) が加わるような, 最上位 node ( $O$  層) から  $N$  層へ向かっての flow (情報伝送など) を考える。それにより,  $N$  層の node 上に次のような空間系列:  $\{y_N(k)\} (1 \leq k \leq 2^N)$  が生成される。

$$y_N(k) = y_0 + \sum_{n=1}^N x_n(k) \quad (1)$$

(但し,  $y_0$ :  $O$  層における値,  $x_n$ : branch ( $n-1 \rightarrow n$ ) において加わるゆらぎ ( $\sim$  i.i.d.),  $n$  についての和は  $O$  層から各 node への道 (一意的) について取る。)

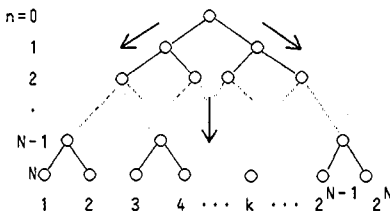


図 1 2 分木構造

Fig. 1 A binary tree structure.

$\{y_N(k)\}$  は,  $N \rightarrow \infty$  において, 正規分布を持つ 1 次元パターンとなるが, そのパワースペクトルが  $f^{-1}$  型になることを以下に示す。まず,  $O$  層からの flow の道が  $n$  層まで共通で  $n+1$  層から分岐するような, 二つの node における値の間の相関:  $G(n)$  は, 次のようになる。

$$\begin{aligned} G(n) &\equiv E\{(y_0 + x_1 + \dots + x_n + x_{n+1} + \dots + x_N) \\ &\quad \cdot (y_0 + x_1 + \dots + x_n + x'_{n+1} + \dots + x'_N)\} \\ &= y_0^2 + 2Ny_0E\{x\} + nE\{x^2\} \\ &= n \end{aligned} \quad (2)$$

但し,  $y_0=0, E\{x\}=0, E\{x^2\}=1$  とした。これを用いて, 相関関数 ( $k$  について平均による):  $\rho(k) \equiv E_k\{y_N(k) \cdot y_N(k+k')\} (1 \leq k' \leq 2^{N-1})$  は,  $k' = 2^j (0 \leq j \leq N-1)$  とおいて, 次のように近似される。

$$\begin{aligned} \rho(2^j) &= \sum_{n=j}^{N-1} 2^n G(n-j) / \sum_{n=j}^{N-1} 2^n \\ &= \{(N-j-2)2^{N-j} + 2\} / \{2^{N-j} - 1\} \\ &\sim N - 2 - j \quad (N-j \rightarrow \infty) \\ \rho(k') &\sim N - 2 - \log_2 k' \end{aligned} \quad (3)$$

このように,  $\{y_N(k)\}$  は,  $k' \ll 2^N$  のところで log 型の相関を持ち,  $f^{-1}$  型スペクトルを有することがわかる。一般に,  $m^d$  分岐の場合にも  $\rho(k') \sim N - 2 - \log_m k'$  となり, パワースペクトル (1 次元) はやはり  $f^{-1}$  型となる。

次に, node がしきい値作用を持つときには, 2 値パターンが得られる。例えば,  $y_n$ : node への入力,  $y_n'$ : node の出力として,

$$\begin{aligned} y_n' &= 1, \quad y_n \geq Y \\ &= 0, \quad y_n < Y \quad (Y: \text{const.}) \end{aligned} \quad (4)$$

とすれば,  $\{y_N(k)\}$  には  $\{0, 1\}$  の 2 値系列が生成される。このようなしきい値作用はゆらぎを 'リセット' するため, 一般に相関は小さくなるが, 次のような特別な (興味ある) 場合には, 生成される 2 値パターンは  $f^{-1}$  型スペクトルを有する。

$$\begin{aligned} y_n' &= 1, \quad y_n \geq 1 \\ &= 0, \quad y_n < 1 \\ y_0' &= 1 \\ x_n &= 0, \quad \text{prob.}(1-p) \\ &= -\epsilon, \quad \text{prob. } p \end{aligned} \quad (5)$$

これは, 各 branch において確率  $p$  で flow が障害される場合を表している。先と同様にして,

$$\begin{aligned} G(n) &= (1-p)^n (1-p)^{2^{(N-n)}} \\ &= (1-p)^{2^N - n} \end{aligned} \quad (6)$$

$$\rho(2^j) = \sum_{n=j}^{N-1} 2^n (1-p)^{2^N - n + j} / \sum_{n=j}^{N-1} 2^n$$

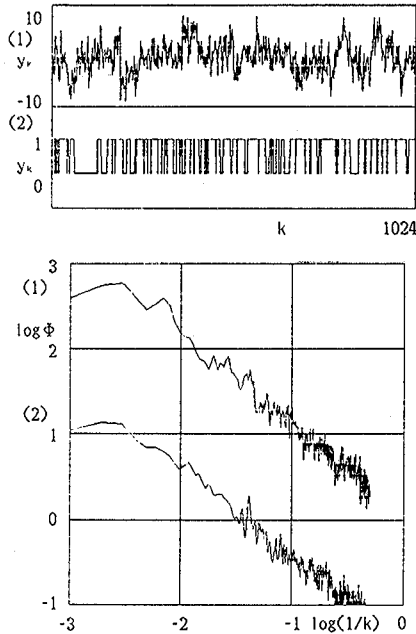


図2  $f^{-1}$  スペクトルを持つ1次元パターンおよびそのパワースペクトル

Fig 2 Examples of one-dimensional pattern with  $f^{-1}$  spectrum  $y_n(k)$  and corresponding power spectra ( $\phi(1/k)$ )( $m=2, d=1, N=10$ )

(1) gaussian ( $x_n \sim N(0, 1)$ ) and (2) binary ( $p = 0.05$ ).

$$\begin{aligned} &= (1-p)^{N+j+1} \{2^{N-j} - (1-p)^{N-j}\} \\ & \quad / (1+p)(2^{N-j} - 1) \\ & \sim C(1-p)^j \\ & \sim C(1-p)^j \end{aligned}$$

$$\rho(k') \sim C(1-p \log_2 k') \quad (7)$$

(但し,  $N \rightarrow \infty, p \rightarrow 0, (1-p)^N = C$ )となる。従って,  $\{y_n\}$  は, 観測可能 ( $C$ :有限)な場合には常に, 式(3)と同形の相関を持つことが分かる。

この生成規則は, Mandelbrot の凝乳化過程<sup>(2)</sup>と同じものであり, パターン中の1の領域は, ハウスドルフ次元:  $d_f = d + \log_m(1-p)$ を持つ ( $m^d$ 分岐の場合)。また, 0の領域の直径:  $L$ の分布は, 領域同士の重なりを無視すると, 次のようなべきの形になる。

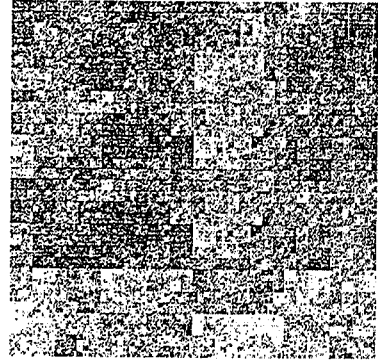


図3  $f^{-1}$  スペクトルを持つ2次元パターン

Fig 3 An example of two-dimensional pattern ( $m=2, d=2, N=8$ ).

$$\begin{aligned} P_r\{L=k' (=m^j)\} &\propto p\{m^d(1-p)\}^{N-j-1} \\ &\sim k'^{-d} \end{aligned} \quad (8)$$

図2, 3に, 計算機シミュレーションによって得られたパターンおよびそのパワースペクトル(FFTによる)を示した。 $\rho(k') = 0 (k' \geq 2^{N-1})$ であるため, 低周波領域においてスペクトルはflatになる。

### 3. むすび

自己相似構造(木構造)を持つ開放系(flow, 外部からのゆらぎ, nodeの能動性などを有する)において,  $f^{-1}$ 型スペクトルを有する空間パターンが生成されることを示した。このような系は情報処理システムと深く関連し, 特に, 生体と1/fゆらぎとの結び付きにおいて<sup>(3)</sup>, 神経系情報処理との関連が興味深い。

### 文 献

- (1) H. Furukawa: "Universal spectra of quasirandom objects produced by off-equilibrium space divisions", Phys. Rev. A, 34, 3, pp. 2315-2323 (Sept. 1986).
- (2) B. B. Mandelbrot: "The Fractal Geometry of Nature", Freeman, New York (1983). 広中平祐監訳: "フラクタル幾何学", 日経サイエンス社 (1985)
- (3) 武者利光: "生体情報と1/fゆらぎ", 応用物理, 54, 5, pp. 429-435 (1985).

(昭和62年9月7日受付)